

© 1992

## КОГЕРЕНТНЫЙ ФОТОГАЛЬВАНИЧЕСКИЙ ЭФФЕКТ НА ВНУТРИЗОННЫХ И МЕЖЗОННЫХ ОПТИЧЕСКИХ ПЕРЕХОДАХ

*В. Л. Агафонов, В. И. Белиничер*

Предложена теория когерентного фотогальванического эффекта для внутризонных оптических переходов в полупроводниках с простой зоной и для межзонных оптических переходов в арсениде галлия. Произведен расчет и приведены оценки величины фототока.

Когерентный фотогальванический эффект представляет собой возникновение постоянного однородного электрического тока в однородных кристаллах под воздействием однородного света, состоящего из трех когерентных волн. Этот эффект не связан с внешним постоянным электрическим полем или импульсом фотона и возможен в кристаллах с центром симметрии [1]. Ток в этом случае пропорционален третьей степени поля и определяется тензором четвертого ранга

$$j_a = \sigma_{ijla}(\omega_1, \omega_2) E_{1i}^* E_{2j}^* E_{3l} + \text{h.c.} \quad (\text{A})$$

Поле определяется следующим образом:

$$\mathbf{E} = E_1 e^{-i\omega_1 t} + E_2 e^{-i\omega_2 t} + E_3 e^{-i(\omega_1 + \omega_2)t} + \text{h.c.}$$

Следует отметить, что в случае, если  $\omega_1 = \omega_2 = \omega$  и эти волны когерентны друг с другом, в выражение для плотности тока (A) необходимо добавить еще два слагаемых

$$(1/2) \sigma_{ijla}(\omega) (E_{1i}^* E_{1j}^* E_{3l} + E_{2i}^* E_{2j}^* E_{3l}) + \text{h.c.},$$

$$\sigma_{ijla}(\omega) = \sigma_{ijla}(\omega_1, \omega_2) |_{\omega_1 = \omega_2 = \omega}.$$

Теория когерентного фотогальванического эффекта, обусловленного двумя световыми волнами с частотами  $\omega$  и  $2\omega$ , была построена в [2] в классической области частот  $\hbar\omega \ll T$ . В настоящей работе это явление изучается при поглощении света свободными носителями (раздел 1), а также в области края оптического поглощения (раздел 2) путем решения квантового кинетического уравнения. В классической области частот при  $\hbar\omega_1, \hbar\omega_2 \ll T$ , когда свет поглощается свободными носителями, ответ функционально совпадает с приведенным в работе [2].

Эффект рассматривается как результат интерференции двух возможных процессов: поглощения двух фотонов и поглощения одного фотона с энергией, равной сумме энергий двух фотонов. Такая интерференция отлична от нуля, так как фотоны находятся в когерентных состояниях, и мы рассматриваем только индуцированные процессы.

# 1. Когерентный фотогальванический эффект на внутризонных переходах

Мы ограничимся случаем невырожденного полупроводника с квадратичным изотропным законом дисперсии. Ток в этом случае имеет вид

$$j = \frac{e}{m} \int k \delta f(k) d^3 k, \quad (1)$$

где  $m$ ,  $e$ ,  $k$  — эффективная масса, заряд и квазимпульс электрона в зоне проводимости, а  $\delta f(k)$  — неравновесная добавка к функции распределения электрона  $f(k)$ , которая находится из решения кинетического уравнения

$$\frac{\partial f_k}{\partial t} = \Gamma_k \delta f_k + \int (W_{kk'} f_{k'} - W_{k'k} f_k) \frac{d^3 k'}{(2\pi)^3} = 0. \quad (2)$$

Здесь  $\Gamma_k$  — обратное время потери импульса, определяемое соударениями электронов с заряженными примесями, которые случайным образом распределены по объему с плотностью  $n$ . В нашем случае

$$\Gamma_k = \frac{nm}{8\pi k^3} \left( \frac{4\pi e^2}{\epsilon} \right)^2 \left( \ln \left( \frac{4k^2}{x^2} + 1 \right) - \frac{4k^2}{4k^2 + x^2} \right), \quad (3)$$

где  $\epsilon$  — статистическая диэлектрическая проницаемость,  $x$  — обратный радиус экранирования.

В вероятность  $W_{kk'}$  дают вклад лишь слагаемые, не зависящие от времени, которые являются произведениями матричных элементов второго и третьего порядков, соответствующих поглощению одного или двух фотонов и рассеянию на примеси. Такая вероятность отлична от нуля, поскольку свет является когерентным и относительные фазы световых волн фиксированы.

На рис. 1 показано несколько типов диаграмм, определяющих вероятность. Здесь отсутствуют диаграммы, соответствующие члену с  $A^2$  из гамильтониана  $H = [P - (e/c) A]^2/2m + U$ , так как вклад таких диаграмм в  $W_{kk'}$  равен нулю.

Сложив все слагаемые, нетрудно убедиться, что вероятность равна<sup>1</sup>

$$W_{kk'} = i (k_i - k'_i) (k_j - k'_j) (k_l - k'_l) \frac{ne^3 |v_{k'k}|^2}{2\pi m^3 (\omega_1 \omega_2 (\omega_1 + \omega_2))^2} \times \\ \times (E_{1i} E_{2j} E_{3l} - E_{1i} E_{2j} E_{3l}) (\delta(\epsilon_{k'} - \epsilon_k - h(\omega_1 + \omega_2)) - \delta(\epsilon_{k'} - \epsilon_k - \hbar\omega_1) - \\ - \delta(\epsilon_{k'} - \epsilon_k - \hbar\omega_2) - \delta(\epsilon_{k'} - \epsilon_k + h(\omega_1 + \omega_2)) + \delta(\epsilon_{k'} - \epsilon_k + \hbar\omega_1) + \\ + \delta(\epsilon_{k'} - \epsilon_k + \hbar\omega_2)), \quad (4)$$

где

$$|v_{k'k}|^2 = \left( \frac{4\pi e^2 / \epsilon}{(k - k')^2 + x^2} \right)^2.$$

Следует отметить, что эта формула верна для всех  $\omega_1$  и  $\omega_2$ , таких, что  $\omega_1 \neq \omega_2$ . Если же  $\omega_1 = \omega_2$ , то здесь и далее следует заменить  $E_{1i} E_{2j}$  на  $(1/2) (E_1 + E_2)_i (E_1 + E_2)_j$ , т. е., например, если  $E_1 = E_2$ , то ответ будет в два раза больше, чем если формально подставить  $\omega_1 = \omega_2 = \omega$ .

<sup>1</sup> То, что вероятность должна быть пропорциональная произведениям разности  $(k - k')$   $E$ , следует из формы уравнения на матрицу плотности электронов  $\rho_{kk'}$ .

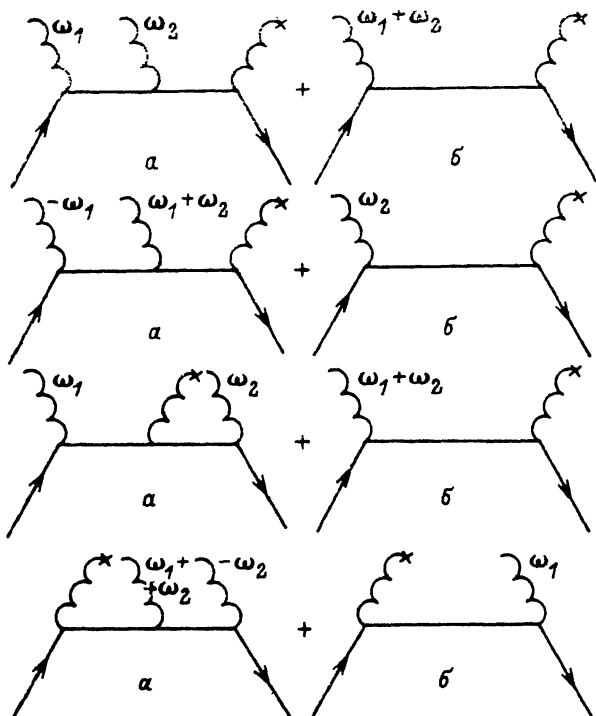


Рис. 1. Типичные примеры фейнмановских диаграмм для процессов поглощения света на внутризонных переходах, приводящих к когерентному ФГЭ.

Асимметричные вероятности перехода возникают от произведения амплитуд графиков *a* и *b*.

Нетрудно заметить, что  $W_{kk} = W_{kk'}$  в соответствии с принципом детального равновесия.

Подставив выражение для  $W$  в (2), а затем  $\delta f$  в (1) и произведя интегрирование по углам, находим, что постоянная составляющая плотности тока есть

$$j_n = i\sigma (\delta_{ij}\delta_{In} + \delta_{il}\delta_{jn} + \delta_{in}\delta_{jl}) (E_{1i}^* E_{2j}^* E_{3l} - E_{1i} E_{2j} E_{3l}^*), \quad (5)$$

где

$$\begin{aligned} \sigma = & \frac{4e^8 n}{15\pi m^4 \epsilon^2 (\omega_1 \omega_2 (\omega_1 + \omega_2))^2} \int \frac{k^2 dk}{\Gamma_k} \int \left( 2 + \frac{k^2 - k'^2 - 2x^2}{2kk'} \ln \left( \frac{(k+k')^2 + x^2}{(k-k')^2 + x^2} \right) - \right. \\ & \left. - \frac{2x^2 (k^2 - k'^2 - x^2)}{((k-k')^2 + x^2) ((k+k')^2 + x^2)} \right) (f_k^0 - f_{k'}^0) k'^2 dk' (\delta(\epsilon_{k'} - \epsilon_k - \hbar(\omega_1 + \omega_2)) - \\ & - \delta(\epsilon_{k'} - \epsilon_k - \hbar\omega_1) - \delta(\epsilon_{k'} - \epsilon_k - \hbar\omega_2) - \delta(\epsilon_{k'} - \epsilon_k + \hbar(\omega_1 + \omega_2)) + \\ & + \delta(\epsilon_{k'} - \epsilon_k + \hbar\omega_1) + \delta(\epsilon_{k'} - \epsilon_k + \hbar\omega_2)). \end{aligned} \quad (5a)$$

В общем виде интеграл (5a) не берется, однако в предельных случаях возможны значительные упрощения. В дальнейших расчетах равновесная функция распределения электронов  $f^0$  считается больцмановской.

Когда энергия падающего света значительно превышает среднюю кинетическую энергию электронов ( $\hbar\omega \gg T$ ), электроны в состоянии  $k'$  не могут перейти вниз по спектру и поэтому переходы из  $k'$  в  $k$  происходят исключительно с поглощением энергии, т. е.  $T \sim \epsilon_{k'} \ll \epsilon_k \sim \hbar\omega$ . Тогда интегрирование по  $k$  снимается последними тремя  $\delta$ -функциями, а интегрирование по  $k'$  после соответствующих приближений легко выполняется. Окончательный результат для этого случая

$$\sigma = \frac{32\pi n n_0 e^8}{15m^3 \epsilon^2 (\omega_1 \omega_2 (\omega_1 + \omega_2))^2 \hbar^2} \left( \frac{k_{\omega_1}^5}{(k_{\omega_1}^2 + \chi^2)^2 \Gamma_{k_{\omega_1}}} + \frac{k_{\omega_1}^5}{(k_{\omega_1}^2 + \chi^2)^2 \Gamma_{k_{\omega_2}}} - \frac{k_{\omega_1 + \omega_2}^5}{(k_{\omega_1 + \omega_2}^2 + \chi^2)^2 \Gamma_{k_{\omega_1 + \omega_2}}} \right) , \quad (6)$$

где

$$k_{\omega} = \sqrt{\frac{2m\omega}{\hbar}} .$$

В ситуации, когда  $\hbar\omega \ll T$  и  $\epsilon_k \sim \epsilon_{k'} \sim T$ , вносят вклад все четыре  $\delta$ -функции. В этом случае в зависимости от соотношения между  $\chi$  и  $k$  имеем

$$\sigma = \frac{8e^4 n_0}{5m^2 T \omega_1 \omega_2 (\omega_1 + \omega_2)} , \quad \chi \ll \sqrt{\frac{2mT}{\hbar^2}} ,$$

$$\sigma = \frac{8e^4 n_0}{15m^2 T \omega_1 \omega_2 (\omega_1 + \omega_2)} , \quad \chi > \sqrt{\frac{2mT}{\hbar^2}} . \quad (7)$$

Этот случай соответствует классическому пределу, т. е. тому, что сделано в [2]. В окончательной формуле отсутствует  $\hbar$ , как и должно быть в этом пределе. Частотная зависимость  $1/\omega^3$  совпадает с [2].

Численные значения  $j$  можно получить, подставив характерные значения  $n = 10^{17} \text{ см}^{-3}$ ,  $T = 300 \text{ К}$  для случая  $\hbar\omega \ll T$ ,  $\omega = 10^{12} \text{ Гц}$ , тогда  $j \approx 1 \text{ А/см}^2$  при интенсивности электромагнитного поля  $I = 1 \text{ Вт/см}^2$ . Для случая  $\hbar\omega \gg T$ ,  $\omega = 10^{14} \text{ Гц}$  получаем  $j \approx 10^{-6} \text{ А/см}^2$  при той же интенсивности.

## 2. Когерентный фотогальванический эффект на междузонных переходах CaAs

Мы ограничимся случаем, когда  $\omega_1 = \omega_2$  и  $E_1 = E_2 = E/2$ , при этом  $E_g/2 < \hbar\omega < E_g$ . Вычисляется лишь электронный вклад в ток, а дырочный опускается из-за его малости [3]. Ток определяется так же, как и в разделе 1.

Используя кинетическое уравнение

$$\frac{\partial f_k}{\partial t} = W_k - \Gamma_k \delta f_k = 0 , \quad (8)$$

где  $W_k$  — плотность вероятности фотовозбужденных электрон-дырочных пар с импульсом  $k$ , его можно вычислить по формуле (1) с  $\delta f_k = W_k / \Gamma_k$ .

Гамильтониан в модели Кейна представляет собой матрицу  $8 \times 8$  и в пренебрежении анизотропией может быть представлен в блочной форме

$$H_0 = \begin{pmatrix} Rk^2 + E_g & iPk_i \\ -iPk_j & -Mk^2\delta_{ij} - \Lambda k_i k_j - \Delta \sigma_i \sigma_j / 2 \end{pmatrix}, \quad (9)$$

$R, P, M, \Lambda, \Delta, E_g$  — параметры модели Кейна;  $E_g \gg \Delta$ ;  $i, j$  — векторные индексы;  $\sigma$  — матрицы Паули; спиновые индексы опущены. Верхний блок представляет собой матрицу  $2 \times 2$ , а нижний  $6 \times 6$ .

В  $H_0$  взаимодействие волновых функций валентной зоны и зоны проводимости учитывается по теории возмущений. Это приводит к перенормировке констант  $R$  и  $\Lambda$

$$\tilde{R} = R + P^2/E_g, \quad \tilde{\Lambda} = \Lambda + P^2/E_g.$$

Тогда волновые функции дырок можно представить в виде  $U_{ia}^\beta(k)$ , где  $\nu$  — номер решения ( $\nu = 1$  для легких дырок,  $\nu = -1$  для тяжелых дырок),  $\beta$  — знак спиральности,  $a$  — спиновые индексы,  $a = \pm 1/2$ .

Электромагнитное поле вводится в гамильтониан с помощью замены  $k \rightarrow k - (e/c) A$ , и линейный по  $A$  член в гамильтониане имеет вид

$$H_{\text{возм}} = - \begin{pmatrix} \frac{2ekA}{c} \tilde{R} & \frac{iPeA_i}{c} \\ -\frac{iPeA_j}{c} & -\frac{2eMkA\delta_{ij}}{c} - \frac{\Delta e}{c} (k_i A_j + k_j A_i) \end{pmatrix},$$

$$\tilde{R} = \frac{1}{2m_e}, \quad M = \frac{1}{2m_{-1}}, \quad \tilde{\Lambda} = \frac{1}{2m_1} - \frac{1}{2m_{-1}}. \quad (10)$$

Плотность фотовозбужденных электронов  $W_k$  следующим образом выражается через амплитуду фотовозбуждения  $F_k^\beta$ :

$$W_k = (4\pi^2)^{-1} \sum_{\beta=\pm 1} |F_k^\beta|^2 \delta(\varepsilon_k^0 + \varepsilon_k^\nu - 2\omega), \quad \hbar\omega < E_g < 2\hbar\omega, \quad (11)$$

где  $F_k^\beta$  изображены на рис. 2.

В интересующую нас нечетную по  $k$  вероятность  $W_k$  делают вклад произведения амплитуд

$$F_a F_b + F_a^* F_c + \text{h.c.},$$

$$F_a^\beta = -PeE_{3j}u_{ia}^{\nu\beta}/2\omega,$$

$$F_b' = -2ie^2 \tilde{R} P k_i E_j E_l u_{ja}^{\nu\beta}/\omega^3,$$

$$F_c' = - \sum_{\nu\beta'} \frac{iPe^2 u_{ia}^{\nu\beta'} u_{ja}^{\nu\beta'} u_{ma}^{\nu\beta} E_l E_n}{\omega^2 (\omega - \varepsilon_k^\nu - \varepsilon_k^{\nu'})} (2Mk_a \delta_{jm} + \tilde{\Lambda} (k_j \delta_{mn} + k_m \delta_{jn})). \quad (12)$$

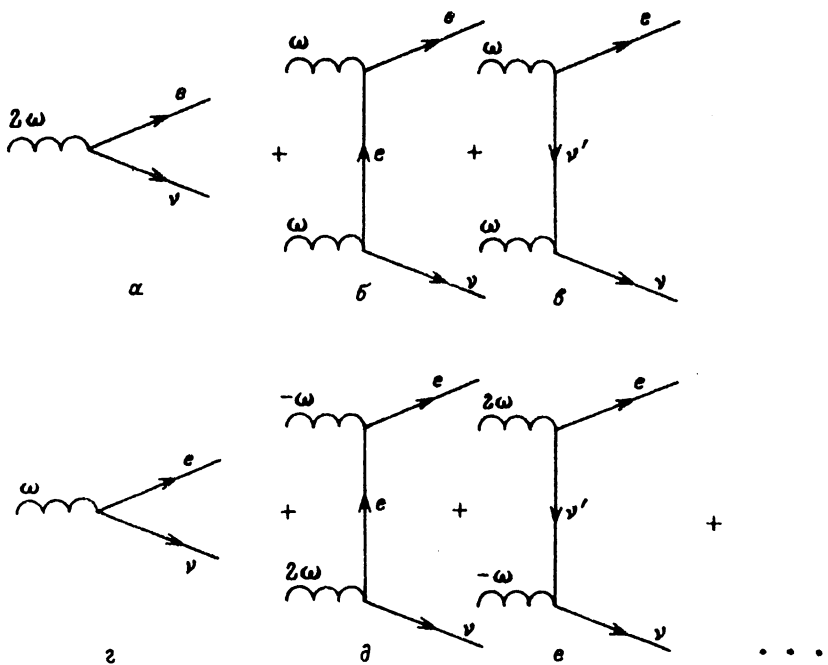


Рис. 2. Фейнмановские диаграммы для процессов поглощения света на межзонных переходах.

Диаграммы  $a-e$  соответствуют процессам поглощения света с энергией  $2\omega$ ,  $g-e$  — с энергией  $\omega$ . Асимметричные вероятности перехода возникают от произведения амплитуд графиков  $a$  и  $b$ ,  $c$ ,  $d$  также  $g$  и  $d$ ,  $e$ .

Здесь

$$\varepsilon^e = \frac{k^2}{2m_e} + E_e, \quad \varepsilon^\nu = \frac{k^2}{2m_\nu},$$

При этом явный вид волновых функций дырок нам не потребуется. Достаточно знать проекционные операторы, построенные из дырочных функций

$$\Pi_{i\alpha j\beta}^\nu = \sum_\gamma u_{i\alpha}^\nu u_{j\beta}^{\nu*}. \quad (13)$$

Проекционные операторы найдены в [4] и имеют следующий вид:

$$\Pi_{ij}^{-1} = 1/2 (2\delta_{ji} - \sigma_i \sigma_j - 3n_i n_j + \hat{\sigma}_i \hat{n} n_j + n_i \hat{\sigma}_j),$$

$$\Pi_{ij}^1 = 1/2 (4/3 n_i n_j + 1/3 (\sigma_i - n_i \hat{n}) (\sigma_j - n_j \hat{n}) + 2/3 (2n_i n_j - \hat{\sigma}_i \hat{n} n_j - n_i \hat{n} \sigma_j)). \quad (14)$$

Здесь

$$n_i = k_i/k, \quad \hat{n} = n_i \sigma_i.$$

Окончательный результат для вероятности  $W_k$  можно записать в виде

$$W_k = \sum_{\nu = \pm 1} \frac{2i\pi \tilde{R}P^2 e^3 k_n}{\omega^4} \text{Sp}(\Pi_{II}^\nu) E_a^* E_I E_{3I} \delta(\varepsilon^c + \varepsilon^\nu - 2\omega) + \text{h.c.} + \\ + \sum_{\nu, \nu' = \pm 1} i\pi P^2 e^3 \text{Sp}(\Pi_{Ia}^\nu \Pi_{JI}^{\nu'}) E_I^* E_a^* E_{3I} \frac{(2Mk_n \delta_{Jm} + \tilde{\Lambda}(k_n \delta_{nm} + k_m \delta_{jn}))}{\omega^3 (\omega - \varepsilon^c - \varepsilon^{\nu'})} \times \\ \times \delta(\varepsilon^c + \varepsilon_\nu^\nu - 2\omega) + \text{h.c.} \quad (15)$$

После подстановки в (1) и интегрирования получим

$$j_a = \frac{e^4 P^2 i}{m_e \omega^4 \cdot 30\pi} (E_I^* E_a^* E_{3I} - E_I E_a^* E_{3I}) (A \delta_{aa} \delta_{II} + B \delta_{aI} \delta_{Ia} + C \delta_{aI} \delta_{Ia}), \quad (16)$$

где

$$A = \frac{k_{-1}^3}{\Gamma_{-1}} \left( \frac{4\mu_{-1}}{m_e} + \frac{4\mu_{-1}}{m_{-1}} - \frac{Z_{1-1}}{3} \right) + \frac{k_1^3}{\Gamma_1} \left( \frac{8}{3} \mu_1 \left( \frac{2}{3m_1} + \frac{1}{3m_{-1}} + \frac{1}{m_e} \right) - \frac{5Z_{-11}}{6} \right), \\ B = \frac{k_{-1}^3}{\Gamma_{-1}} \left( \frac{\mu_{-1}}{m_e} - \frac{\mu_{-1}}{m_{-1}} + \frac{4Z_{1-1}}{3} \right) + \frac{k_1^3}{\Gamma_1} \left( \frac{\mu_1}{m_e} + \frac{2\mu_1}{3m_1} + \frac{\mu_1}{3m_{-1}} - \frac{Z_{-11}}{3} \right), \\ C = \frac{k_{-1}^3}{\Gamma_{-1}} \left( \frac{\mu_{-1}}{m_e} - \frac{\mu_{-1}}{m_{-1}} - \frac{Z_{1-1}}{3} \right) + \frac{k_1^3}{\Gamma_1} \left( \mu_1 \left( \frac{1}{m_e} + \frac{2}{3m_1} + \frac{1}{3m_{-1}} \right) + \frac{4Z_{-11}}{3} \right). \quad (17)$$

Здесь введены следующие обозначения:

$$k_a = \sqrt{(2\omega - E_g) 2\mu_a}, \quad \mu_1 = \frac{m_e m_1}{m_e + m_1}, \quad \mu_{-1} = \frac{m_e m_{-1}}{m_e + m_{-1}}, \quad \mu_0 = \frac{m_1 m_{-1}}{m_{-1} - m_1}, \\ Z_{ab} = \frac{\mu_1 \mu_{-1} \mu_0^{-1} \omega}{(\omega - E_g) \mu_a - (2\omega - E_g) \mu_b},$$

$$\alpha, \beta = 1; -1.$$

Подставив в окончательную формулу для  $j$  численные значения  $m_e = 0.067 m_0$ ,  $m_{-1} = 0.55 m_0$ ,  $m_1 = 0.086 m_0$ ,  $m_0 P^2 = 10.3 E_g$ ,  $E_g = 1.52$  эВ,  $2\omega - E_g = 0.25$  эВ,  $m_0 = 9.1 \cdot 10^{-28}$  г,  $e = 1.6 \cdot 10^{-19}$  Кл, интенсивность каждой волны  $1 \text{ Вт/см}^2$ ,  $\Gamma = 10^{-13}$  с; нетрудно оценить значение плотности тока  $j \sim 10^{-7} \text{ А/см}^2$ .

В случае нормального падения света ток потечет вдоль поверхности образца в слое порядка  $10^{-4}$  см, при этом он будет иметь составляющие вдоль каждого вектора поляризации, помноженные на произведение двух других векторов поляризации

$$j \sim \alpha e_1 (e_1 e_3) + \beta e_3. \quad (18)$$

В заключение работы хотелось бы выразить особую благодарность М. В. Энтину за стимулирующие дискуссии и полезные обсуждения.

#### Список литературы

- [1] Белиничер В. И., Стурман Б. И. // УФН. 1980. Т. 130. С. 415.
- [2] Энтин М. В. // ФТП. 1989. Т. 23. № 6. С. 1066.

- [3] Альперович В. Л., Белиничер В. И., Новиков В. Н., Терехов А. С. // ФТТ. 1982. Т. 24. № 3.  
С. 866.
- [4] Белиничер В. И., Новиков В. Н. // Препринт ИАиЭ СО АН СССР № 153. Новосибирск, 1981.

Институт физики полупроводников  
СО РАН  
Новосибирск

Поступило в Редакцию  
30 марта 1992 г.

---